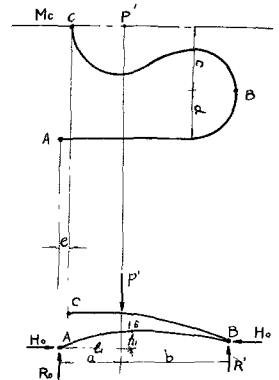




但し  $e$ : バネの断面半径 (cm)       $r$ : 曲率半径 (cm)  
 $\sigma$ : 応力 ( $\text{kg}/\text{cm}^2$ )       $f$ : 断面積 ( $\text{cm}^2$ )  
 $M$ : モーメント ( $\text{kg}\cdot\text{cm}$ )       $N$ : 軸力 ( $\text{kg}$ )  
 $H_0, R_0$ : 締結部反力 ( $\text{kg}$ )       $\varphi$ : 接線角 ( $5^\circ$ ) (曲り梁の測点①に於ける)



第3図 記号詳細図

(1)式に第2図に示す寸法値を代入整理して(2)式を得る。

$$\left. \begin{aligned} M &= \frac{1}{4.986} (\sigma_1 - \sigma_0) \\ N &= \frac{1}{2.481} (2.618\sigma_1 + 2.368\sigma_0) \\ H_0 &= \frac{1}{0.978} (1.004N - 0.020M) \\ R_0 &= \frac{1}{4.204} (1.104N - M) \end{aligned} \right\} \text{----- (2)}$$

各種締結トルクの際スプリングに生ずる応力を測定したが、実際現場で使用されているのは4tonmである。それ故この値を基本的な取扱いの値として(2)式に締結トルク4tonmの時の実験平均応力  $\sigma_1 = -5337 \text{ kg}/\text{cm}^2$ ,  $\sigma_0 = 5835 \text{ kg}/\text{cm}^2$  を代入し、それらの値を求める。

$$M = 2444.7 \text{ kg}\cdot\text{cm}, \quad N = -61.3 \text{ kg}, \quad H_0 = -16.3 \text{ kg}, \quad R_0 = 518.4 \text{ kg}$$

$H_0$ の値は他と比較して小さいので仮りに  $H_0 = 0$  として計算すれば  $R_0 = 521.1 \text{ kg}$  となり、上記の場合の  $R_0$  とほぼ同じ値を得る。なお実験においてレール底面のバットの枚数を1~4枚増減し、支取のバネ常数を变化しても、測点①~④に生ずる応力の変化はほとんどない。これらの理由より  $H_0 = 0$  と仮定して考察を進めて行く。第3図において、C点の釣合、C点のモーメント、A点の釣合を考察すると、(3)式を得る。

$$\left. \begin{aligned} e R_0 + (a-e) P' &= (a+b-e) R' \\ (c+d) R_0 + c R' &= M_c \\ a \cdot P' &= (a+b) R' \end{aligned} \right\} \text{----- (3)}$$

但し、 $M_c$  は C 点におけるモーメントとする。

(3)式に  $R_0 = 521.1 \text{ kg}$ 、並に(1)、第1、及(2)図に於ける実際寸法を代入し、次の値を得た。

$$\text{締付力 } P' = 830 \text{ kg}, \quad \text{バネ受台垂直反力 } R' = 310 \text{ kg}, \quad M_c = 3805.4 \text{ kg}\cdot\text{cm}$$

これらの上記の値を用いて、測点②の断面に生ずるモーメント  $M$ 、及バネトルク  $T$  は第2図より次の式で表わされる。

$$\left. \begin{aligned} M &= (l_2 \sin 45^\circ + s_2 \cos 45^\circ) R_0 \\ T &= (l_2 \cos 45^\circ - s_2 \sin 45^\circ) R_0 \end{aligned} \right\} \text{----- (4)}$$

(4)式に  $l_2 = 7.7 \text{ cm}$ ,  $s_2 = 0.6 \text{ cm}$ ,  $R_0 = 521.1 \text{ kg}$  を代入すれば、次の値を得る。

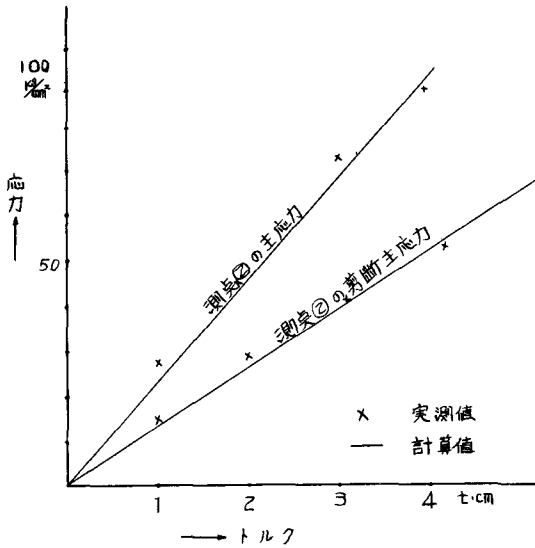
$$M = 3047 \text{ kg}\cdot\text{cm}, \quad T = 2610.4 \text{ kg}\cdot\text{cm}$$

測点②の諸応力を求めるため曲率半径  $r$  なるスプリングと見え、次式を適用する。

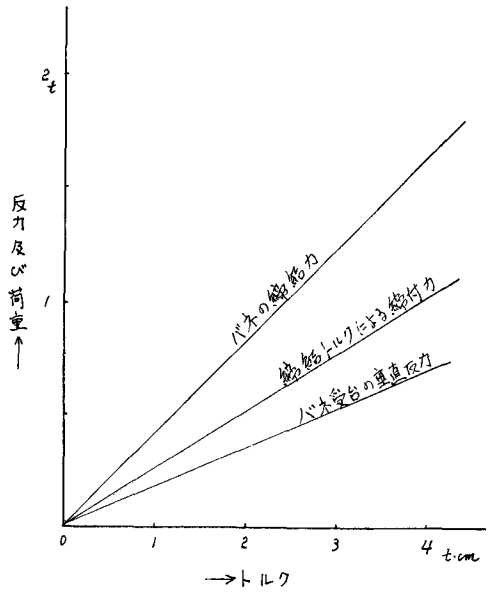
$$\left. \begin{aligned} \text{剪断応力 } \tau_0 &= \frac{16}{\pi d^3} T \frac{1-R + \frac{K}{4} + \frac{K^2}{16}}{1 - \frac{3K^2}{16(1-K^2)}} \\ \text{曲げ応力 } \sigma_2 &= \frac{32}{\pi d^3} \cdot M \end{aligned} \right\} \text{----- (5)}$$

$$\text{主応力 } \sigma = \frac{\sigma_x}{2} \pm \frac{1}{2} \sqrt{\sigma_x^2 + 4\tau^2}$$

但し、 $K = \frac{d}{2F}$        $T$ : トルク  
 $d$ : バネの断面直径



第4図 応力の実験値と計算値の比較



第5図. ハネに働く反力及び荷重(計算値)

(4)式より、縮縮トルク4 t·cmの時の測点②に於ける応力は次の如くなる。

主応力  $\sigma = 91.0 \text{ kg/mm}^2$       剪断主応力  $\tau = 53.2 \text{ kg/mm}^2$

なお、第4図に測点②の実験値と計算応力の比較を示し、第5図に縮縮バネの縮縮力、総付力、バネ受台の垂直反力を示した。

### 3. 検討

第4図に於いて明らかにならず、仮定によって求めた近似計算応力と三方向ゲージによる測定応力はほぼ一致している。よってこの縮縮バネの近似応力計算は前述の(3)、(4)、(5)式を適用して簡単に求める事が出来る。

### 4. 結び

レール縮縮バネの近似応力計算に於いて述べたが、これはレールに働く垂直力、水平力、或いは動的振動、衝撃等については考察していない。

現場で実際に使用した場合には必ずこれらの力をレールが受け、レールの変形によって、縮縮バネの応力は変化する。

今後 ビブロジョールによって実験し、つづいて、これらの問題について検討する予定である。